

Ein und Ausgabe: Farbmetrisches Drucker-Reflexiv-System FR509_92a

Daten für jede Farbe:

u^*_e und Nummer $N_e = 00..15$

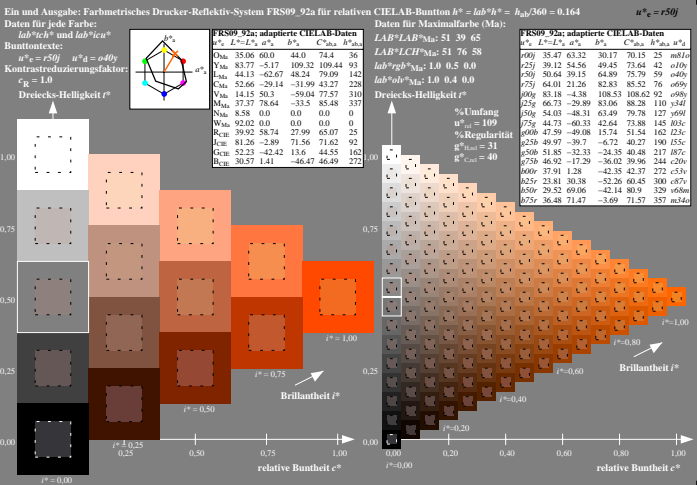
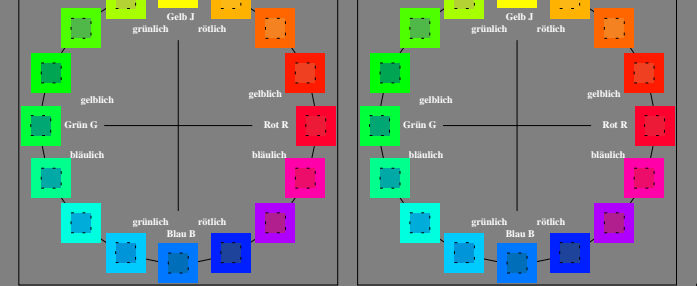
Elementar-Bunttonexte:

$u^*_e = 16$ Bunttonexte $\theta_{0j}, \rho_{25j}, \dots, b_{75j}$

Kontrastreduzierungsfaktor:

$c_R = 1.0$

FR509_92a adaptierte CIELAB-Daten									
L^*	a^*	b^*	C_{94}	h_{94}	M_e	C_{94}	h_{94}	M_e	u^*_e
000	35.47	63.32	30.17	70.15	25	m016			000
010	39.12	54.56	49.45	73.64	42	o109			010
020	50.64	39.15	64.89	75.79	59	o609			020
030	64.01	21.26	82.83	85.52	76	o609			030
040	83.18	-4.38	108.53	108.62	92	o609			040
050	66.73	-29.89	83.06	88.28	110	y34f			050
060	54.03	-48.31	63.49	79.78	127	o609			060
070	44.73	-60.33	42.64	73.88	145	o608			070
080	47.59	-49.08	15.74	51.54	162	z22c			080
090	49.97	-39.7	-6.72	40.27	190	z55c			090
100	51.85	-32.33	-24.38	40.48	217	o608			100
110	46.92	-17.29	-36.02	39.96	244	z20b			110
120	37.91	1.28	-42.35	42.37	272	c53h			120
130	31.38	30.38	-52.26	60.45	300	o608			130
140	29.52	69.06	-42.14	80.9	329	o608			140
150	36.48	71.47	-3.69	71.57	357	m34g			150



Ein und Ausgabe: Farbmetrisches Drucker-Reflexiv-System FR509_92a für relativen CIELAB-Buntton $h^* = lab^*h^* = h_{95}/360 = 0.071$

Daten für jede Farbe:

lab^*h^* und $lab^*ic_u^*$

Bunttonexte:

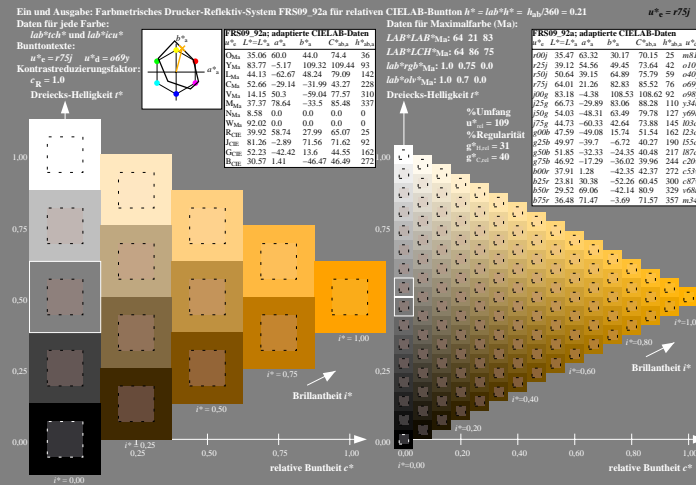
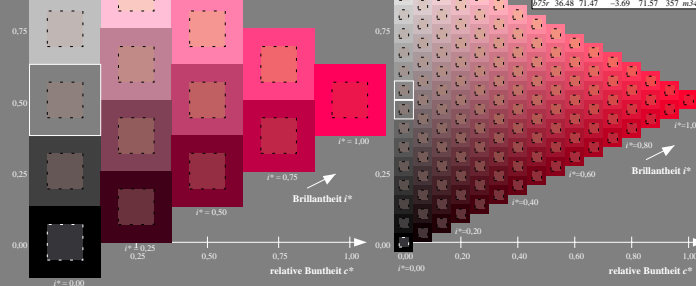
$u^*_e = r10j$ $u^*_d = m81o$

Kontrastreduzierungsfaktor:

$c_R = 1.0$

Dreiecks-Helligkeit i^*

FR509_92a adaptierte CIELAB-Daten									
L^*	a^*	b^*	C_{94}	h_{94}	M_e	C_{94}	h_{94}	M_e	u^*_e
000	35.06	60.00	44.0	74.4	36				000
010	83.77	-5.17	109.32	109.44	93				010
020	44.13	-62.67	48.24	79.09	142				020
030	52.66	-29.14	-31.99	43.27	228				030
040	14.15	50.3	-90.04	73.57	310				040
050	37.37	78.64	-33.5	85.48	337				050
060	8.58	0.0	0.0	0.0	0				060
070	92.02	0.0	0.0	0.0	0				070
080	39.92	58.74	27.99	65.07	25				080
090	81.26	-2.89	71.56	71.62	92				090
100	51.85	-32.33	-24.38	40.48	217	o608			100
110	46.92	-17.29	-36.02	39.96	244	z20b			110
120	37.91	1.28	-42.35	42.37	272	c53h			120
130	31.38	30.38	-52.26	60.45	300	o608			130
140	29.52	69.06	-42.14	80.9	329	o608			140
150	36.48	71.47	-3.69	71.57	357	m34g			150



Ein und Ausgabe: Farbmetrisches Drucker-Reflexiv-System FR509_92a für relativen CIELAB-Buntton $h^* = lab^*h^* = h_{95}/360 = 0.117$

Daten für jede Farbe:

lab^*h^* und $lab^*ic_u^*$

Bunttonexte:

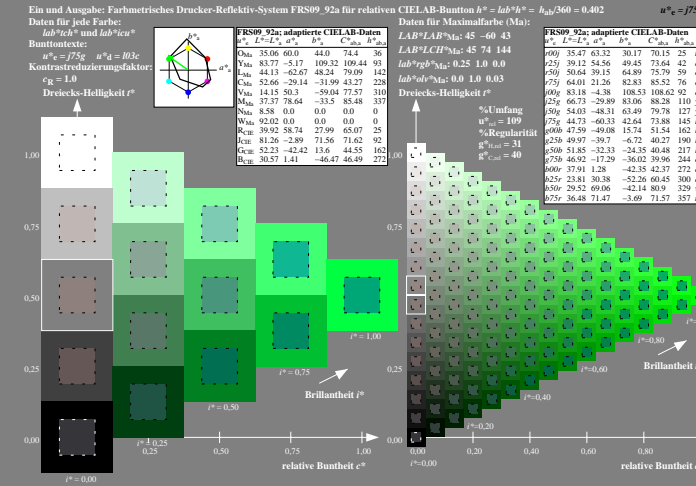
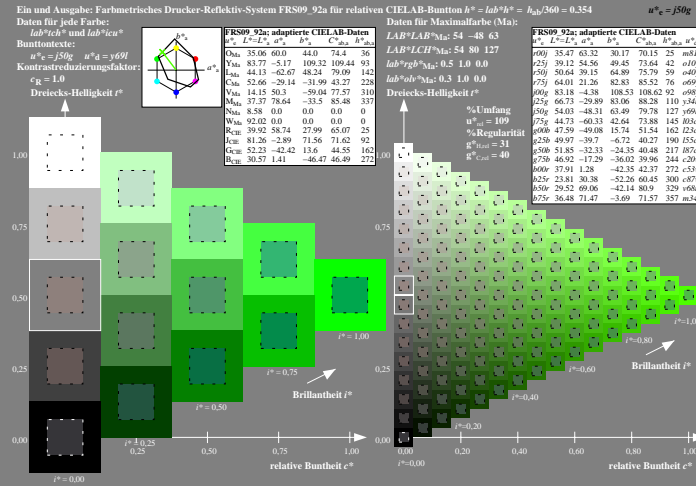
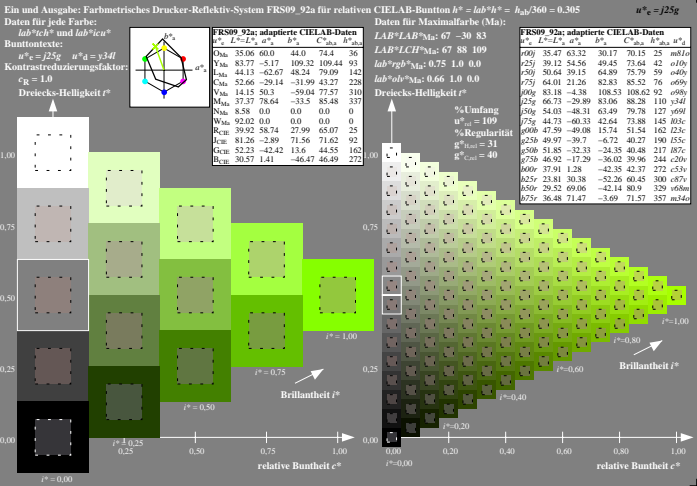
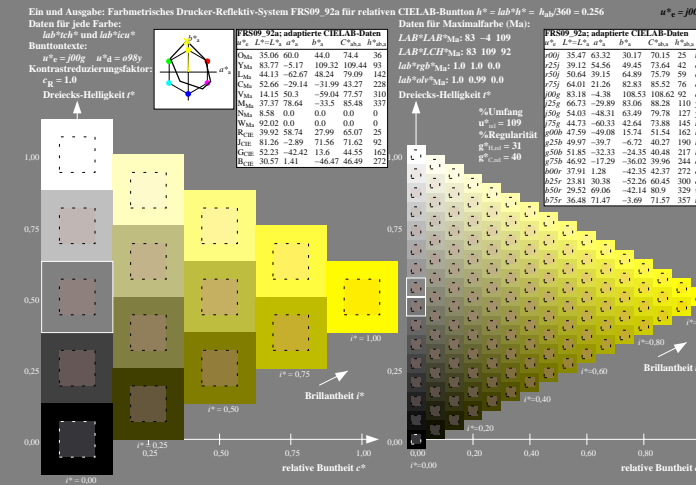
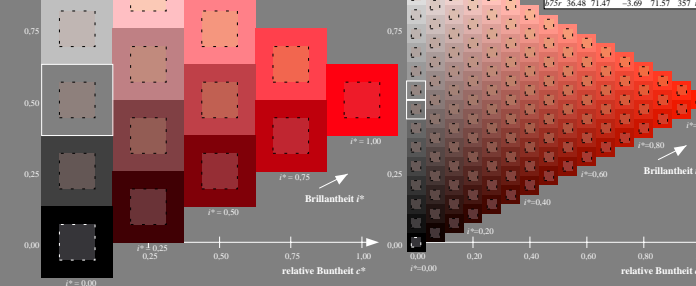
$u^*_e = r25j$ $u^*_d = o10y$

Kontrastreduzierungsfaktor:

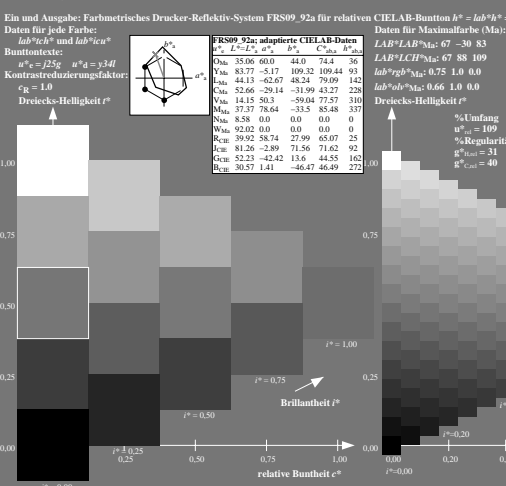
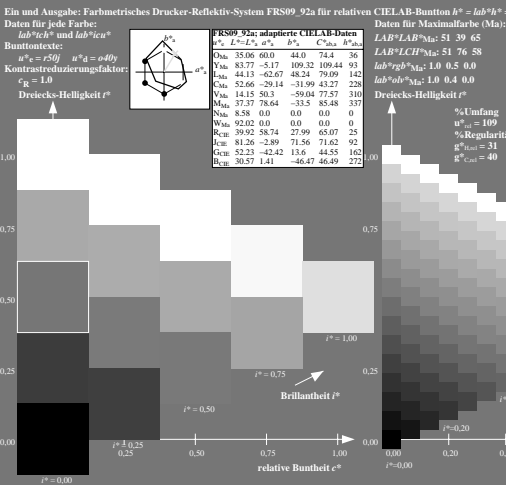
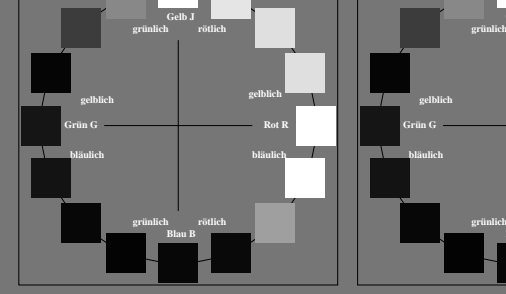
$c_R = 1.0$

Dreiecks-Helligkeit i^*

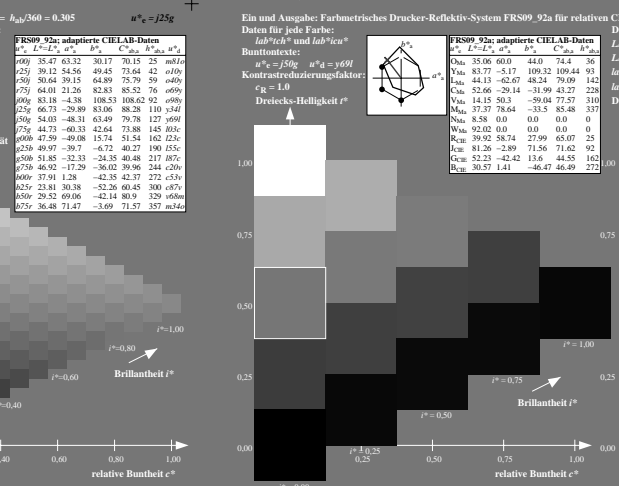
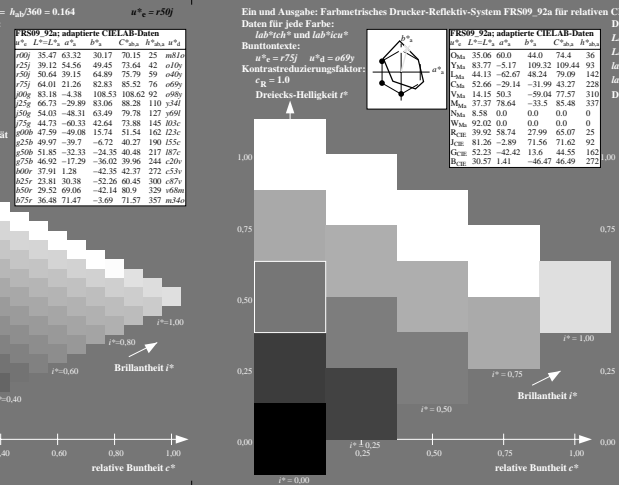
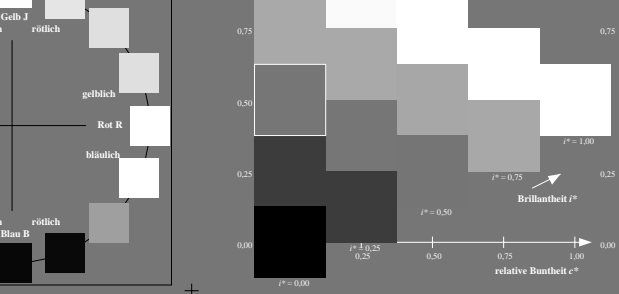
FR509_92a adaptierte CIELAB-Daten									
L^*	a^*	b^*	C_{94}	h_{94}	M_e	C_{94}	h_{94}	M_e	u^*_e
000	35.47	63.32	30.17	70.15	25	m016			000
010	39.12	54.56	49.45	73.64	42	o109			010
020	50.64	39.15	64.89	75.79	59	o609			020
030	64.01	21.26	82.83	85.52	76	o609			030
040	83.18	-4.38	108.53	108.62	92	o609			040
050	66.73	-29.89	83.06	88.28	110	y34f			050
060	54.03	-48.31	63.49	79.78	127	o609			060
070	44.73	-60.33	42.64	73.88	145	o608			070
080	47.59	-49.08	15.74	51.54	162	z22c			080
090	49.97	-39.7	-6.72	40.27	190	z55c			090
100	51.85	-32.33	-24.38	40.48	217	o608			100
110	46.92	-17.29	-36.02	39.96	244	z20b			110
120	37.91	1.28	-42.35	42.37	272	c53h			120
130	31.38	30.38	-52.26	60.45	300	o608			130
140	29.52	69.06	-42.14	80.9	329	o608			140
150	36.48	71.47	-3.69	71.57	357	m34g			150



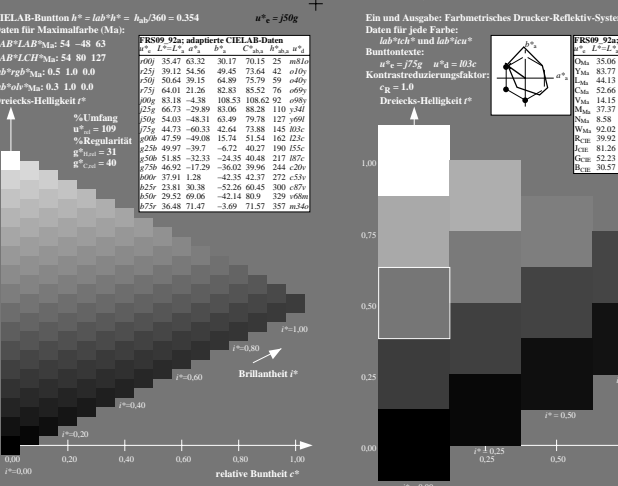
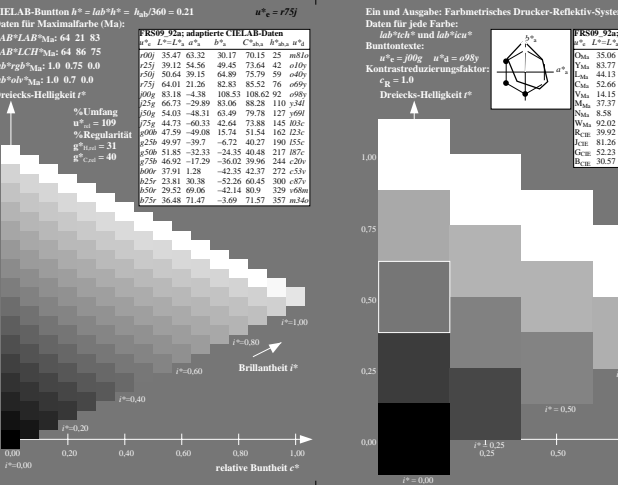
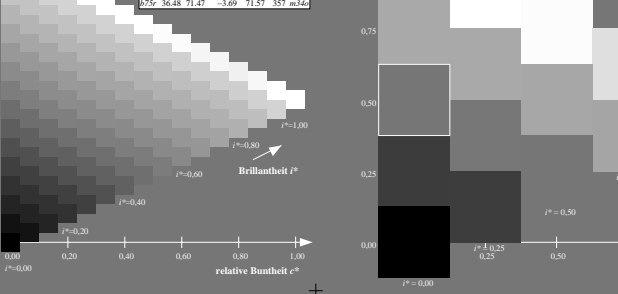
Ein und Ausgabe: Farbmetrisches Drucker-Reflexiv-System FR509_92a
 Daten für jede Farbe:
 $u^*_e = 16$ und Nummer $N_e = 00 \dots 15$
 Elementar-Buntpunkte:
 $u^*_e = 16$ Buntpunkte $\rho_{0ij}, \rho_{25j}, \dots, \rho_{675}$
 Kontrastreduzierungsfaktor:
 $c_R = 1.0$



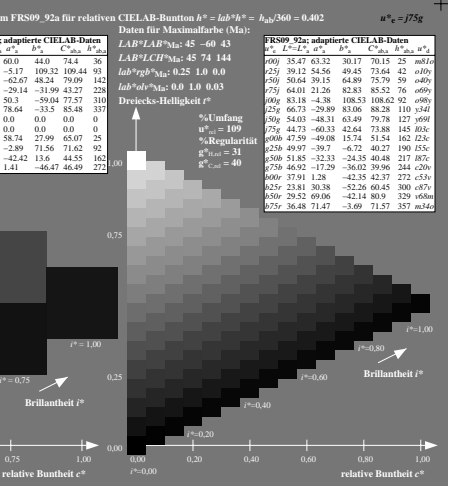
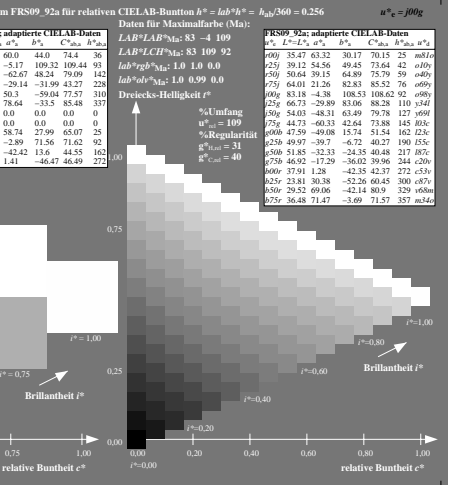
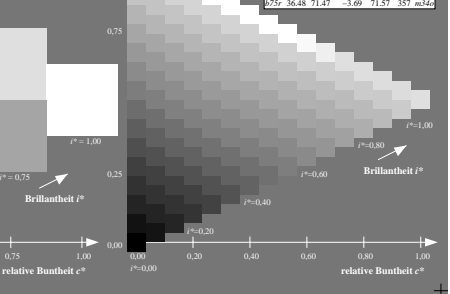
Ein und Ausgabe: Farbmetrisches Drucker-Reflexiv-System FR509_92a für relativen CIELAB-Bunton $h^* = lab^*/h^* = h_{95}/360 = 0.071$ $u^*_e = j00f$
 Daten für jede Farbe:
 lab^*/h^* und lab^*/i_cu^*
 Buntpunkte:
 $u^*_e = j00f$ $u^*_a = m8f0$
 Kontrastreduzierungsfaktor:
 $c_R = 1.0$
 Dreiecks-Helligkeit i^*



Ein und Ausgabe: Farbmetrisches Drucker-Reflexiv-System FR509_92a für relativen CIELAB-Bunton $h^* = lab^*/h^* = h_{95}/360 = 0.117$ $u^*_e = r25j$
 Daten für jede Farbe:
 lab^*/h^* und lab^*/i_cu^*
 Buntpunkte:
 $u^*_e = r25j$ $u^*_a = o4f$
 Kontrastreduzierungsfaktor:
 $c_R = 1.0$
 Dreiecks-Helligkeit i^*



Ein und Ausgabe: Farbmetrisches Drucker-Reflexiv-System FR509_92a für relativen CIELAB-Bunton $h^* = lab^*/h^* = h_{95}/360 = 0.141$ $u^*_e = j00j$
 Daten für jede Farbe:
 lab^*/h^* und lab^*/i_cu^*
 Buntpunkte:
 $u^*_e = j00j$ $u^*_a = m8f0$
 Kontrastreduzierungsfaktor:
 $c_R = 1.0$
 Dreiecks-Helligkeit i^*



Ein und Ausgabe: Farbmetrisches Drucker-Reflexiv-System FR509_92a
 Daten für jede Farbe:
 u^*_e und Nummer $N_e = 00 \dots 15$
 Elementar-Bunttonexte:
 $u^*_e = 16$ Bunttonexte $r_{00j}, r_{25j}, \dots, b_{75j}$
 Kontrastreduzierungsfaktor:
 $c_R = 1.0$

FR509_92a adaptierte CIELAB-Daten
 $L^*, L^*, L^*, a^*, b^*, C_{90}, h_{90}$
 Lab*Lab*Mat: 51 39 65
 Lab*Lab*Mat: 1.0 0.5 0.0
 Lab*Lab*Mat: 1.0 0.0 0.0
 Dreiecks-Helligkeit l^*

FR509_92a adaptierte CIELAB-Daten
 $L^*, L^*, L^*, a^*, b^*, C_{90}, h_{90}$
 Lab*Lab*Mat: 51 39 65
 Lab*Lab*Mat: 1.0 0.5 0.0
 Lab*Lab*Mat: 1.0 0.0 0.0
 Dreiecks-Helligkeit l^*

Ein Diagramm zeigt die relative Brillanzheit l^* für verschiedene Farbtöne (Grün G, Gelb J, Rot R, Blau B) bei unterschiedlichen Kontrastreduzierungsstufen ($c_R = 0.25, 0.50, 1.00$).

Ein und Ausgabe: Farbmetrisches Drucker-Reflexiv-System FR509_92a für relativen CIELAB-Buntton $h^* = lab^*h^* = h_{90}/360 = 0.071$
 Daten für jede Farbe:
 $u^*_e = r_{00j}$ $u^*_a = m81o$
 Kontrastreduzierungsfaktor:
 $c_R = 1.0$
 Dreiecks-Helligkeit l^*

FR509_92a adaptierte CIELAB-Daten
 $L^*, L^*, L^*, a^*, b^*, C_{90}, h_{90}$
 Lab*Lab*Mat: 35 63 30
 Lab*Lab*Mat: 1.0 0.0 0.0
 Lab*Lab*Mat: 1.0 0.0 0.18
 Dreiecks-Helligkeit l^*

FR509_92a adaptierte CIELAB-Daten
 $L^*, L^*, L^*, a^*, b^*, C_{90}, h_{90}$
 Lab*Lab*Mat: 35 63 30
 Lab*Lab*Mat: 1.0 0.0 0.0
 Lab*Lab*Mat: 1.0 0.0 0.18
 Dreiecks-Helligkeit l^*

Ein Diagramm zeigt die relative Brillanzheit l^* für verschiedene Farbtöne bei unterschiedlichen Kontrastreduzierungsstufen ($c_R = 0.25, 0.50, 1.00$).

Ein und Ausgabe: Farbmetrisches Drucker-Reflexiv-System FR509_92a für relativen CIELAB-Buntton $h^* = lab^*h^* = h_{90}/360 = 0.117$
 Daten für jede Farbe:
 $u^*_e = r_{25j}$ $u^*_a = o10y$
 Kontrastreduzierungsfaktor:
 $c_R = 1.0$
 Dreiecks-Helligkeit l^*

FR509_92a adaptierte CIELAB-Daten
 $L^*, L^*, L^*, a^*, b^*, C_{90}, h_{90}$
 Lab*Lab*Mat: 39 74 42
 Lab*Lab*Mat: 1.0 0.25 0.0
 Lab*Lab*Mat: 1.0 0.11 0.0
 Dreiecks-Helligkeit l^*

FR509_92a adaptierte CIELAB-Daten
 $L^*, L^*, L^*, a^*, b^*, C_{90}, h_{90}$
 Lab*Lab*Mat: 39 74 42
 Lab*Lab*Mat: 1.0 0.25 0.0
 Lab*Lab*Mat: 1.0 0.11 0.0
 Dreiecks-Helligkeit l^*

Ein Diagramm zeigt die relative Brillanzheit l^* für verschiedene Farbtöne bei unterschiedlichen Kontrastreduzierungsstufen ($c_R = 0.25, 0.50, 1.00$).

Ein und Ausgabe: Farbmetrisches Drucker-Reflexiv-System FR509_92a für relativen CIELAB-Buntton $h^* = lab^*h^* = h_{90}/360 = 0.164$
 Daten für jede Farbe:
 $u^*_e = r_{50j}$ $u^*_a = o40y$
 Kontrastreduzierungsfaktor:
 $c_R = 1.0$
 Dreiecks-Helligkeit l^*

FR509_92a adaptierte CIELAB-Daten
 $L^*, L^*, L^*, a^*, b^*, C_{90}, h_{90}$
 Lab*Lab*Mat: 51 39 65
 Lab*Lab*Mat: 1.0 0.5 0.0
 Lab*Lab*Mat: 1.0 0.0 0.0
 Dreiecks-Helligkeit l^*

FR509_92a adaptierte CIELAB-Daten
 $L^*, L^*, L^*, a^*, b^*, C_{90}, h_{90}$
 Lab*Lab*Mat: 51 39 65
 Lab*Lab*Mat: 1.0 0.5 0.0
 Lab*Lab*Mat: 1.0 0.0 0.0
 Dreiecks-Helligkeit l^*

Ein Diagramm zeigt die relative Brillanzheit l^* für verschiedene Farbtöne bei unterschiedlichen Kontrastreduzierungsstufen ($c_R = 0.25, 0.50, 1.00$).

Ein und Ausgabe: Farbmetrisches Drucker-Reflexiv-System FR509_92a für relativen CIELAB-Buntton $h^* = lab^*h^* = h_{90}/360 = 0.21$
 Daten für jede Farbe:
 $u^*_e = r_{75j}$ $u^*_a = o69y$
 Kontrastreduzierungsfaktor:
 $c_R = 1.0$
 Dreiecks-Helligkeit l^*

FR509_92a adaptierte CIELAB-Daten
 $L^*, L^*, L^*, a^*, b^*, C_{90}, h_{90}$
 Lab*Lab*Mat: 64 21 83
 Lab*Lab*Mat: 1.0 0.75 0.0
 Lab*Lab*Mat: 1.0 0.7 0.0
 Dreiecks-Helligkeit l^*

FR509_92a adaptierte CIELAB-Daten
 $L^*, L^*, L^*, a^*, b^*, C_{90}, h_{90}$
 Lab*Lab*Mat: 64 21 83
 Lab*Lab*Mat: 1.0 0.75 0.0
 Lab*Lab*Mat: 1.0 0.7 0.0
 Dreiecks-Helligkeit l^*

Ein Diagramm zeigt die relative Brillanzheit l^* für verschiedene Farbtöne bei unterschiedlichen Kontrastreduzierungsstufen ($c_R = 0.25, 0.50, 1.00$).

Ein und Ausgabe: Farbmetrisches Drucker-Reflexiv-System FR509_92a für relativen CIELAB-Buntton $h^* = lab^*h^* = h_{90}/360 = 0.256$
 Daten für jede Farbe:
 $u^*_e = j_{00g}$ $u^*_a = o98y$
 Kontrastreduzierungsfaktor:
 $c_R = 1.0$
 Dreiecks-Helligkeit l^*

FR509_92a adaptierte CIELAB-Daten
 $L^*, L^*, L^*, a^*, b^*, C_{90}, h_{90}$
 Lab*Lab*Mat: 83 4 109
 Lab*Lab*Mat: 1.0 1.0 0.0
 Lab*Lab*Mat: 1.0 0.99 0.0
 Dreiecks-Helligkeit l^*

FR509_92a adaptierte CIELAB-Daten
 $L^*, L^*, L^*, a^*, b^*, C_{90}, h_{90}$
 Lab*Lab*Mat: 83 4 109
 Lab*Lab*Mat: 1.0 1.0 0.0
 Lab*Lab*Mat: 1.0 0.99 0.0
 Dreiecks-Helligkeit l^*

Ein Diagramm zeigt die relative Brillanzheit l^* für verschiedene Farbtöne bei unterschiedlichen Kontrastreduzierungsstufen ($c_R = 0.25, 0.50, 1.00$).

Ein und Ausgabe: Farbmetrisches Drucker-Reflexiv-System FR509_92a für relativen CIELAB-Buntton $h^* = lab^*h^* = h_{90}/360 = 0.305$
 Daten für jede Farbe:
 $u^*_e = j_{25g}$ $u^*_a = y34l$
 Kontrastreduzierungsfaktor:
 $c_R = 1.0$
 Dreiecks-Helligkeit l^*

FR509_92a adaptierte CIELAB-Daten
 $L^*, L^*, L^*, a^*, b^*, C_{90}, h_{90}$
 Lab*Lab*Mat: 67 88 109
 Lab*Lab*Mat: 0.75 1.0 0.0
 Lab*Lab*Mat: 0.6 1.0 0.0
 Dreiecks-Helligkeit l^*

FR509_92a adaptierte CIELAB-Daten
 $L^*, L^*, L^*, a^*, b^*, C_{90}, h_{90}$
 Lab*Lab*Mat: 67 88 109
 Lab*Lab*Mat: 0.75 1.0 0.0
 Lab*Lab*Mat: 0.6 1.0 0.0
 Dreiecks-Helligkeit l^*

Ein Diagramm zeigt die relative Brillanzheit l^* für verschiedene Farbtöne bei unterschiedlichen Kontrastreduzierungsstufen ($c_R = 0.25, 0.50, 1.00$).

Ein und Ausgabe: Farbmetrisches Drucker-Reflexiv-System FR509_92a für relativen CIELAB-Buntton $h^* = lab^*h^* = h_{90}/360 = 0.354$
 Daten für jede Farbe:
 $u^*_e = j_{50g}$ $u^*_a = y69l$
 Kontrastreduzierungsfaktor:
 $c_R = 1.0$
 Dreiecks-Helligkeit l^*

FR509_92a adaptierte CIELAB-Daten
 $L^*, L^*, L^*, a^*, b^*, C_{90}, h_{90}$
 Lab*Lab*Mat: 54 80 127
 Lab*Lab*Mat: 0.5 1.0 0.0
 Lab*Lab*Mat: 0.3 1.0 0.0
 Dreiecks-Helligkeit l^*

FR509_92a adaptierte CIELAB-Daten
 $L^*, L^*, L^*, a^*, b^*, C_{90}, h_{90}$
 Lab*Lab*Mat: 54 80 127
 Lab*Lab*Mat: 0.5 1.0 0.0
 Lab*Lab*Mat: 0.3 1.0 0.0
 Dreiecks-Helligkeit l^*

Ein Diagramm zeigt die relative Brillanzheit l^* für verschiedene Farbtöne bei unterschiedlichen Kontrastreduzierungsstufen ($c_R = 0.25, 0.50, 1.00$).

Ein und Ausgabe: Farbmetrisches Drucker-Reflexiv-System FR509_92a für relativen CIELAB-Buntton $h^* = lab^*h^* = h_{90}/360 = 0.402$
 Daten für jede Farbe:
 $u^*_e = j_{75g}$ $u^*_a = i03c$
 Kontrastreduzierungsfaktor:
 $c_R = 1.0$
 Dreiecks-Helligkeit l^*

FR509_92a adaptierte CIELAB-Daten
 $L^*, L^*, L^*, a^*, b^*, C_{90}, h_{90}$
 Lab*Lab*Mat: 45 104 144
 Lab*Lab*Mat: 0.25 1.0 0.0
 Lab*Lab*Mat: 0.2 1.0 0.0
 Dreiecks-Helligkeit l^*

FR509_92a adaptierte CIELAB-Daten
 $L^*, L^*, L^*, a^*, b^*, C_{90}, h_{90}$
 Lab*Lab*Mat: 45 104 144
 Lab*Lab*Mat: 0.25 1.0 0.0
 Lab*Lab*Mat: 0.2 1.0 0.0
 Dreiecks-Helligkeit l^*

Ein Diagramm zeigt die relative Brillanzheit l^* für verschiedene Farbtöne bei unterschiedlichen Kontrastreduzierungsstufen ($c_R = 0.25, 0.50, 1.00$).